硝 酸 塩 の 溶 解 度 (第6報) 硝酸ヒドラジン - 硝酸ナトリウム - 水系の相平衡

原 泰毅*,安部浩志*,中村英嗣*,長田英世*

硝酸ヒドラジン (N₂H₄NO₃) —硝酸ナトリウム 2 成分系平衡状態図を作成し、共融組成および共融温度として N₂H₅NO₃ 91.3%、NaNO₃ 8.7% および64℃ を得た。また N₂H₅NO₃ —NaNO₃—H₂O 3 成分系平衡状態図を残留法によって作成した。 3 成分共融組成は N₂H₅NO₃ 16%、NaNO₃ 33%、H₂O 51% (Wt%)で、共融温度は−21℃であった。これらの系においては復塩や含水塩の形成は認められず、飽和溶液と平衡にある固相はいずれも純粋なN₂H₅NO₃、NaNO₃ および氷であるか、それらの混合物である。

1. 緒 含

硝酸アンモニウム (以下 AN と略配)を主な酸化剤とする含水爆薬やエマルション爆薬の基礎的な溶解度に関するデータを得る目的で、AN に他の酸化剤や鋭感剤を混合した系の3成分および4成分系の平衡状態 図を作成して来た。

硝酸ヒドラジン(以下 HN と略記)を鋭感剤とするエマルション爆薬の研究^{1),3)}を行うに当り、その低 迅安定性や貯蔵安定性に重大な影響を及ぼす AN, HN, 硝酸ナトリウム(以下 SN と略記)および水の4つの成分相互間の溶解度を知ることが重要である。AN—HN—水系の相平衡については既に報告³⁾したので、本研究は、HN—SN 2成分系および HN—SN—水3成分系平衡状態図の作成を目的としたものである。

なお、本研究の目的に必要な HN 一水 2 成分系³⁾ および SN 一水 2 成分系⁴⁾のデータは前報および文献値を利用した。

2. 実験

2.1 試料

SN は市販の特級試薬を再結晶して用い、HN は前報に述べたものと同じ方法で、ヒドラジンヒドラートと硝酸から合成したものを再結晶して用いた。

2.2 平衡状態図の作成

HN-SN 2 成分系平衡状態図は冷却曲線法によって作成した。HN-SN-水 3 成分系の平衡状態図の作成は前報までと同様な残留法⁵⁾によった。残留法における各塩の濃度は N₂H₅⁺イオン濃度⁶⁾ およびNO₅⁻

昭和60年7月26日受理
*九州工業大学環境工学科
〒804 北九州市戸畑区仙水町 1-1
TEL 093-871-1931 内線 447

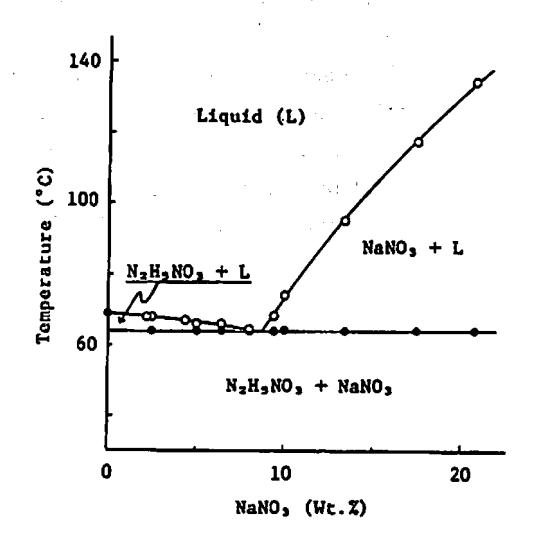
イオン漁度⁷⁾を分光光度法によって測定し、HN の浪度はN₂H₀⁺イオン濃度、SN 濃度はNO₅⁻イオン濃度とHN 濃度の差として求め、水分量は全量と全塩量との差として求めた。

3成分共融温度および共**融組**成は前報に述べた方法 と同じ方法によって決定した。

3. 結果および考察

3.1 硝酸ヒドラジンー硝酸ナトリウム2成分系の 平衡

HN-SN 2成分系の平衡状態図を Fig.1 に示した。



Eutectic point; NaNO, 8.7 Wt.Z N2H3NO, 91.3 Wt.Z

Temp. 64 °C

Fig. 1 Phase diagram for the binary system hydrazinium nitrate-sodium nitrate

Table 1 Solubility data for the ternary system NaNO₂-N₂H₅NO₃-H₂O

Temp (°C)	Liquid phase (Wt. %)			Wet solid phase (Wt. %)			
	NaNO ₃	N ₂ H ₅ NO ₃	H ₂ O	NaNO ₃	N ₂ H ₈ NO ₃	H ₂ O	Solid phase
40	50. 5	0	49. 5	_	_	_	SN
	44. 3	13. 9	41.8	<i>77.</i> 1	5. 6	17. 3	SN
	42. 5	18. 2	39. 3	81. 2	6. 1	12.2	SN
	40. 6	22. 5	36. 9	80.3	7. 9	11.8	SN
	39. 4	25. 3	35. 3	79. 1	9. 1	11.8	SN
	31. 9	41.0	27. 1	77. 2	13. 3	9.5	SN
	30. 3	45. 6	24. 1	75. 2	16. 2	8. 6	SN
	22. 4	59. 3	18. 3	73. 2	18. 9	7. 9	SN
	18. 7	69. 9	11.4	28. 6	66. 1	5. 3	SN+HN
	18. 0	70. 9	11. 2	23. 0	73. 1	3. 9	SN+HN
	16. 7	70. 8	12. 6	23. 7	70. 5	5. 8	SN+HN
	17. 5	71. 1	11. 4	11.6	85. 7	7.7	HN
• .	8. 3	77.8	14. 0	4. 8	87. 2	8. 0	HN
	0	85. 9	14. 1	_	_	_	HN
20	46. 7	0	53. 3	_	-	_	SN
	45. 2	4. 4	50. 4	80. 0	1. 6	18. 3	SN
	37. 8	20. 2	42. 0	78. 8	7. 9	13. 2	SN
i	33.8	28. 3	37. 9	77. 4	9. 6	13. 0	SN
	30. 0	38. 7	31. 4	86.6	7. 2	6. 2	SN
	25. 5	47. 2	27. 3	70. 4	18. 3	11.3	SN
	24. 2	52. 5	23. 3	71. 3	20. 8	7.8	SN
	19. 2	58. 7	22. 0	26. 9	61. 4	11.7	SN+HN
	19. 1	58. 8	22. 1	20. 6	65. 8	13. 6	SN+HN
	18. 9	59. 3	21.8	13. 1	76. 2	10. 7	SN+HN
	18. 1	58. 4	22. 8	25. 9	60. 4	13.7	SN+HN
	15. 4	60. 0	24. 6	7. 1	81. 4	11.4	HN
	7.7	66. 3	26. 0	6. 2	79. 5	14. 3	HN
	4.8	69. 3	25. 8	1.1	88. 6	10. 3	HN
	0	72. 7	27. 3	_	-	_	HN
0	42. 5	0	57. 5		_	_	SN
	40.7	4.6	54.7	75.7	1.9	22. 5	SN
	38. 5	10. 7	50. 9	74.0	4. 3	21.8	SN
	36. 5	15. 4	48. 1	71.3	6. 5	22. 1	SN
	34. 4	21. 9	43.7	78. 7	6. 4	14. 9	SN
	28.5	33.5	38. 0	68. 5	15. 0	16. 5	SN
	29. 1	35. 6	36. 4	38. 4	43. 2	18. 4	SN+HN
	28. 2	36. 2	35. 6	63. 0	21. 7	15. 5	SN+HN
	28. 0	35. 8	36. 1	60. 5	23. 9	15. 5	SN+HN
	28. 0	36. 2	35. 8	49. 3	37. 4	13. 9	SN+HN
	25. 3	36. 8	37. 9	13. 1	68. 9	17. 9	HN
	17. 6	39. 8	42. 6	8. 9	67. 5	23. 5	HN
	14. 6	42. 3	43. 1	7. 7	69. 0	23. 3	HN
	10. 2	46. 3	43. 5	6. 5	65. 6	27. 9	HN
	0.	54. 0	46. 0			_,	HN

Temp. (℃)	Liqu	uid phase (Wt. 9	%)	Wet solid phase (Wt. %)			6-1:1-1
	NaNO ₃	N ₂ H ₈ NO ₃	H ₂ O	NaNO ₃	N.H.NO.	H₁O	Solid phase
-10	40. 0	0	60. 0	_	_		SN
	37. 3	6. 1	56. 6	74. 2	2. 6	23. 2	SN
	34. 2	15. 6	50. 2	72. 2	6. 7	21.0	SN
	31.0	23. 4	45. 7	70.5	10. 2	19. 3	SN
	29. 6	26. 2	44. 2	40.0	42. 0	18. 0	SN+HN
	29.8	26. 0	44. 3	11.4	70. 1	18. 5	HN
	27.8	27. 1	45. 1	18. 2	54. 5	27.3	HN
	21. 4	28. 6	50.0	16. 1	48. 7	35. 2	HN
	11.7	31. 1	57. 2	4. 9	46. 4	28. 7	HN
	4. 9	33. 7	61. 4	2.5	58. 5	38. 9	HN
	0	38. 8	61. 2	_	_	_	HN
	28. 0	0	72. 0	_	_	_	H ₂ O
	20.5	11. 1	68. 4	16. 2	8. 3	75. 4	H ₂ O
	13.6	22. 8	63. 6	8. 8	14. 4	76. 8	H ₁ O
	12. 0	26. 2	61. 8	6. 3	14. 6	79. 1	H ₂ O
	5. 7	34. 1	60. 2	5. 0	35. 0	60. 0	H•O
- 20	34. 2	13. 5	52. 3	38. 3	10. 0	51. 7	SN+H,O
	33. 4	16. 4	50. 2	72. 3	7. 0	20. 7	HN
	32. 3	16. 8	50. 9	54.8	16. 5	28. 7	SN+HN
	32. 1	17. 3	50. 5	27. 7	26. 0	46. 3	HN+H•O
	33. 5	17. 0	49. 5	24. 2	46. 6	29. 1	SN+HN

Invariant point data for the ternary system of NaNO3-N3HaNO3-H3O

Temperature : -21℃

Composition; NaNO₃ 33, N₂H₅NO₃ 16, H₂O 51 Wt. %

SN; NaNO3 HN; N, H, NO3

HNの分解開始退度が180~190℃かであるから、測定は約140℃までの退度範囲にとどめた。この系の共融組成はHN91.3%、SN8.7%とHN側に片寄り、共融退度は64℃であった。この退度はHNの融点である70℃よりもわずか6℃低いのみである。共融温度がHNの融点に近く、かつ共融組成がHN側にあるのはSNの融点が308℃かとHNの融点にくらべて著しく高いためであろう。

HNとSNの混合物の凝固点を測定したBarlotらかけ、 共融点として HN 95%, 47℃を報告しているが、 彼らの報告にあるのは測定点が少なく、状態図としては不完全である。

3.2 硝酸ヒドラジンー硝酸ナトリウムー水3成分 系の平衡

HN-SN-水3成分系の平衡状態における飽和溶液および固相を含む飽和溶液の種々の温度における組成を瓜量%でTable 1に示した。この中から40℃および-10℃の結果をFig. 2に示した。図中の白丸は飽和

溶液の組成を、 黒丸は固相を含む溶液の組成を示す。 両者が平衡にあり、 2 つの点を結ぶ対応線 (Tie line) の集まる点がそれらの飽和溶液と平衡にある固相であ り、これらを Table 1 の最後の列にまとめた。

0℃以上の温度において、この系に存在する固相は HN および SN のみで、含水塩や複塩の形成は認められなかった。また、40℃では HN の水に対する溶解度は SN にくらべて大きいので、HN が固相として存在する領域(固左側の扇形)は SN が固相として存在する領域(同右側)よりも小さい。

-10℃では HN と SN の溶解度が類似して来るので上紀の扇形の面積は同じ程度となる。また 0 ℃以下では氷が固相として存在する領域(上部扇形)が出来る。HN—水 2 成分系の共融温度が-10℃³ であるから、2 つの溶解度曲線(固相がそれぞれ氷と HN)が、この温度で、H₂O-N₂H₆NO₃ 線上で接する。

種々の温度における溶解度曲線を Fig. 3 に示した。 HN の溶解度の温度依存性が大きいことを前報に述べ

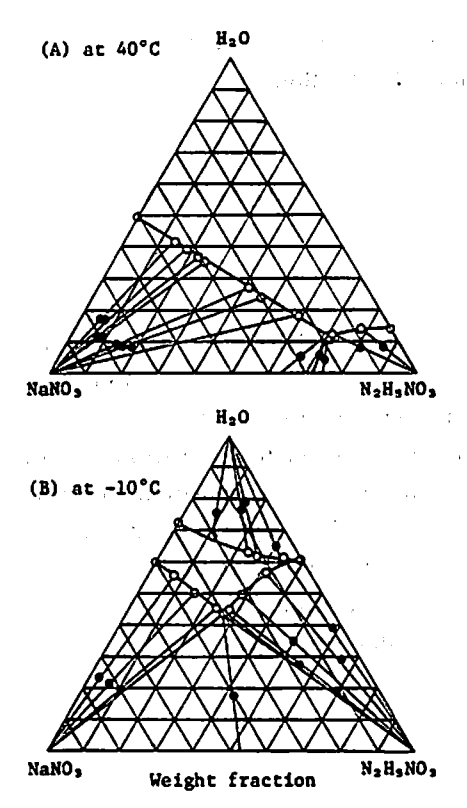


Fig. 2 Phase diagrams for the system hydrazinium nitrate – sodium nitrate – water at 40°C and at – 10°C

たが、この系においてもその傾向が強く、温度の低下とともに HN が固相として存在する領域は著しく広くなる。2種の溶解度曲線が交わる点の溶液、即ち合致溶液 (Congruent solution,または等温不変点)を外揮 (関中の破線)して3成分共融租成を求めると、HN/SN/H2O=16/33/51 (Wt./Wt.)となり、共融温度は-21℃となった。SNーモノメチルアミン硝酸塩(以下 MANと略配)一水3成分共融温度は、MANの溶解度が大きいために-31℃と低く、この温度とくらべると本実験の系の共融温度は高い。しかし、先に報告³³した AN—HN—H2O系の共融温度と類似している。

4. 結論

HN-SN 2 成分系の平衡状態図を作成し、共融組成として HN 91.3%, SN 8.9% (Wt%) を得、共融組度は-21℃であった。

HN-SN-水3成分系平衡状態図を-20℃~40℃

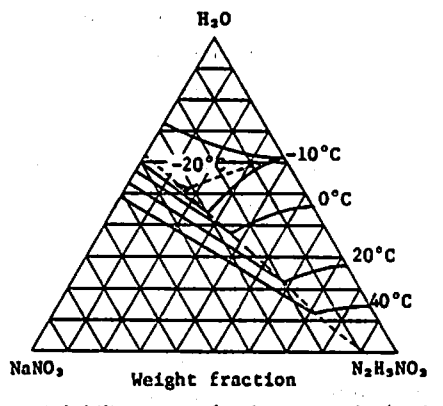


Fig. 3 Solubility curves for the system hydrazinium nitrate-sodium nitrate-water at various temperatures

の沮度範囲の 5 種の沮度で作成した。この系に存在する固相は HN, SN および氷のみで、含水塩や複塩の生成は認められなかった。 3 成分共融組成は HN16%。 SN 33%, H₂O 51%(Wt%)で、共融沮度は−21℃であった。

文 献

- 広崎義一,石田俊男,時田和司,森伸生,服部勝英,工業火薬協会昭和59年度秋季大会講演更旨集 (1984) p.65
- K. Edamura, Y. Hirosaki, H. Sakai, K. Hattori and T. Sakurai, Paul Vielle Scientific Meeting (1984)
- 原泰敏,中村英嗣,広崎義一,枝村康司,長田英世,工業火薬,47,40 (1986)
- W. F. Linke, "Solubilities of Inorganic and Metalorganic Compounds-Seidell", vol. 2, American Chemical Society (1965) p. 1069, p. 1070
- 5)中森一號,"近代工業化学13,無機工業化学",朝 倉書店(1970) p. 199
- G. W. Watt and J. D. Chrisp, Anal. Chem., 24, 2006 (1952)
- (1958)
- 8) 日本化学会編, "化学便覧基礎編 I", 丸ê (1975)p. 96
- J. Barlot and S. Marsaule, Compt. Rend., 226, 1981 (1948)

Solubility of Some Nitrates in Aqueous Solution (VI)

Phase Equilibrium of Hydrazinium Nitrate-Sodium

Nitrate-Water System

by Yasutake HARA*, Hiroshi ABE*, Hidetsugu NAKAMURA* and Hideyo OSADA*

Phase diagram of the binary hydrazinium nitrate (N₂H₅NO₃) – sodium nitrate system was constructed from the cooling curves. The eutectic composition is 91.3% N₂H₅NO₃, 8.7% NaNO₃, and eutectic temperature is 64°C.

Phase diagrams of $N_1H_2NO_3 - NaNO_3 - H_2O$ ternary system at various temperatures were made by the residual method. Ternary eutectic composition for this system contains 16% $N_2H_3NO_3$, 33% NaNO₃ and 51% H_2O by weight at $-21^{\circ}C$. Neither double salts nor hydrated salts were obtained in this system.

(*Department of Environmental Science, Kyushu Institute of Technology Sensui-cho, Tobata-ku, Kitakyushu-shi, Japan)

第17回国際 | C T 年次会議

首題の会議が今年も6月25~27日、西ドイツ、カールスルーエで開かれます。ICTとはフラウンホーへル協会所属の同地の推薬爆薬研究所の略称です。今年は分析が主題で、NMR、仏の寿命テスト、B-KNO3薬のコントロール、点火剤分析、液体爆薬分

析、NCの分子量測定、走在電額の利用、安定剤残量測定、HMX、保安、熱分析、推薬圧力指数、重水素成分の分解に及ぼす効果、B₂H₆の触媒点火剤分析、クロマト応用、第59項の発表があります。興味のある人は直接コンタクトして下さい。予稿集も買うことができます。 (水島容二郎)